

7. Chiba K, Ogawa Y, Ishii K, et al. Long-term results of expansive open-door laminoplasty for cervical myelopathy—average 14-year follow-up study[J]. Spine, 2006, 31(26): 2998–3005.
8. Masaki Y, Yamazaki M, Okawa A, et al. An analysis of factors causing poor surgical outcome in patients with cervical myelopathy due to ossification of the posterior longitudinal ligament: anterior decompression with spinal fusion versus laminoplasty[J]. J Spinal Disord Tech, 2007, 20(1): 7–13.
9. Houten K, Cooper Paul R. Laminectomy and posterior cervical plating for multilevel cervical spondylotic myelopathy and ossification of the posterior longitudinal ligament: effects on cervical alignment, spinal cord compression, and neurological outcome[J]. Neurosurgery, 2003, 52(5): 1081–1088.
10. Tanaka J, Seki N, Tokimura F, et al. Operative results of canal-expansive laminoplasty for cervical spondylotic myelopathy in elderly patients [J]. Spine, 1999, 24 (22): 2308–2312.
11. Arnasson O, Carlsson CA, Pellettieri L. Surgical and conservative treatment of cervical spondylotic radiculopathy and myelopathy[J]. Acta Neurochir(Wien), 1987, 84(1–2): 48–53.
12. Hori T, Kawaguchi Y, Kimura T. How does the ossification area of the posterior longitudinal ligament thicken following cervical laminoplasty[J]? Spine, 2007, 32(19): 551–556.
13. Onari K, Akiyama N, Kondo S, et al. Long-term follow-up results of anterior interbody fusion applied for cervical myelopathy due to ossification of the posterior longitudinal ligament[J]. Spine, 2001, 26(5): 488–493.
14. Barnes MP, Saunders M. The effect of cervical mobility on the natural history of cervical spondylotic myelopathy [J]. J Neurol Neurosurg Psychiatry, 1984, 47(1): 17–20.

(收稿日期:2009-05-04 修回日期:2009-06-01)

(英文编审 郭万首)

(本文编辑 卢庆霞)

个案报道

腰椎黄韧带囊肿 1 例报告

罗天宝, 吴 浩, 杜建新, 菅凤增

(首都医科大学宣武医院神经外科 100053 北京市)

doi:10.3969/j.issn.1004-406X.2009.07.11

中图分类号:R681.5 文献标识码:B 文章编号:1004-406X(2009)-07-0525-02

黄韧带囊肿为椎管内少见的退行性病变。临床表现与椎间盘突出症、滑膜囊肿和腱鞘囊肿类似,诊断上存在一定的难度,易引起误诊。我科收治 1 例腰椎黄韧带囊肿患者,报告如下。

患者男,39岁,因“突发右下肢疼痛 8 个月,加重伴麻木 2 个月”于 2008 年 12 月 24 日入院。8 个月前患者突发右下肢疼痛,以小腿为重,无放射性,诊断为“腰椎间盘突出症”,保守治疗后缓解;2 个月前右下肢疼痛加重并出现小腿前外侧麻木。查体:双下肢肌力 5 级,右下肢腱反射正常引出,L5 支配区域浅感觉减退,右侧直腿抬高试验阳性(50°),括约肌功能正常。腰椎 MRI 显示 L5 椎体水平硬脊膜外黄韧带区域类圆形囊性肿物影,边界清楚,位于马尾神经右背外侧,马尾神经明显受压,T1 加权像呈稍高信号(图 1),T2 加权像呈高信号,周围可见低信号环形影(图 2),T1 增强可见肿物轻度强化(图 3)。诊断为“椎管内硬膜外占位,黄韧带囊肿可能(L5)”。于全麻下,经后正中入路行 L4 右侧椎板开窗、硬膜外肿物探查术。术中见黄韧带明显增厚,囊肿完全位于黄韧带内,大小约 1.5×1.2×1.2cm,

与小关节突关节面无沟通,连同黄韧带完整切除病变,剖开囊肿见黄红色粘液样物质流出,探查硬膜囊及神经根见减压充分。所切肿物送病理检查,诊断为“黄韧带囊肿”(图 4)。术后患者右下肢疼痛消失,小腿前外侧麻木感减轻。复查腰椎 MRI 示椎管内囊肿被完整切除,硬膜囊及神经根受压解除(图 5、6)。随访 4 个月,患者症状完全消失,无腰腿痛及下肢麻木等不适。

讨论 椎管内退行性囊性病变以滑膜囊肿和腱鞘囊肿较为常见,黄韧带囊肿的临床报道较少^[1-3]。黄韧带囊肿多见于 50 岁以上的中老年人,以下腰椎(L4/5、L5/S1)最为多见^[3-5],也可见于颈、胸椎^[1]。黄韧带囊肿没有特征性临床表现,常缓慢起病,因神经根受压而出现根性症状和下肢运动、感觉功能障碍;少数病例也可因黄韧带囊肿内出血急性起病^[3]。MRI 表现无特异性,为椎管内硬膜外囊性肿物影,位于一侧黄韧带区域,被黄韧带完全包裹,圆形或类圆形,边界清楚,T1 信号变异较大,T2 呈高信号,周围有低信号环形边界,增强可见肿物轻度强化,常伴有脊柱退行性病变^[2]。需与椎管内滑膜囊肿及腱鞘囊肿等疾病相鉴别^[3,4]。滑膜囊肿与小关节相沟通,位于黄韧带以外,病理学上有滑膜层;腱鞘囊肿虽紧邻小关节,但与小关节无沟通,

第一作者简介:男(1983-),硕士研究生,研究方向:脊髓肿瘤

电话:(010)83196453 E-mail:neurosurgeonluo@gmail.com

(下转第 539 页)

- characteristics of human cervical pedicles [J]. Spine, 1997, 22 (5): 493-500.
7. 王东来, 唐天驷, 黄士中, 等. 下颈椎椎弓根内固定的解剖学研究与临床应用[J]. 中华骨科杂志, 1998, 18(11): 659-662.
 8. 付一山, 陈正形, 颈椎弓根置钉的影像学测量[J]. 中国脊柱脊髓杂志, 2001, 11(1): 29-31.
 9. Panjabi MM, Shin EK, Chen NC, et al. Internal morphology of human cervical pedicles [J]. Spine, 2000, 25(10): 1197-1205.
 10. Reinhold M, Magerl F, Rieger M, et al. Cervical pedicle screw placement: feasibility and accuracy of two new insertion

techniques based on morphometric data [J]. Eur Spine J 2007, 16(1): 47-56.

11. 熊传芝, 郝敬明, 唐天驷. 椎弓根钉道参数的变异性及其相关因素的研究[J]. 中华骨科杂志, 2002, 22(1): 31-35.
12. 刘景堂, 唐天驷, 刘兴炎, 等. 两种长度的颈椎椎弓根螺钉与侧块螺钉拔出试验比较 [J]. 中国脊柱脊髓杂志, 2005, 15(3): 177-179.

(收稿日期: 2009-03-09 修回日期: 2009-05-25)

(英文编审 蒋欣)

(本文编辑 李伟霞)

(上接第 525 页)

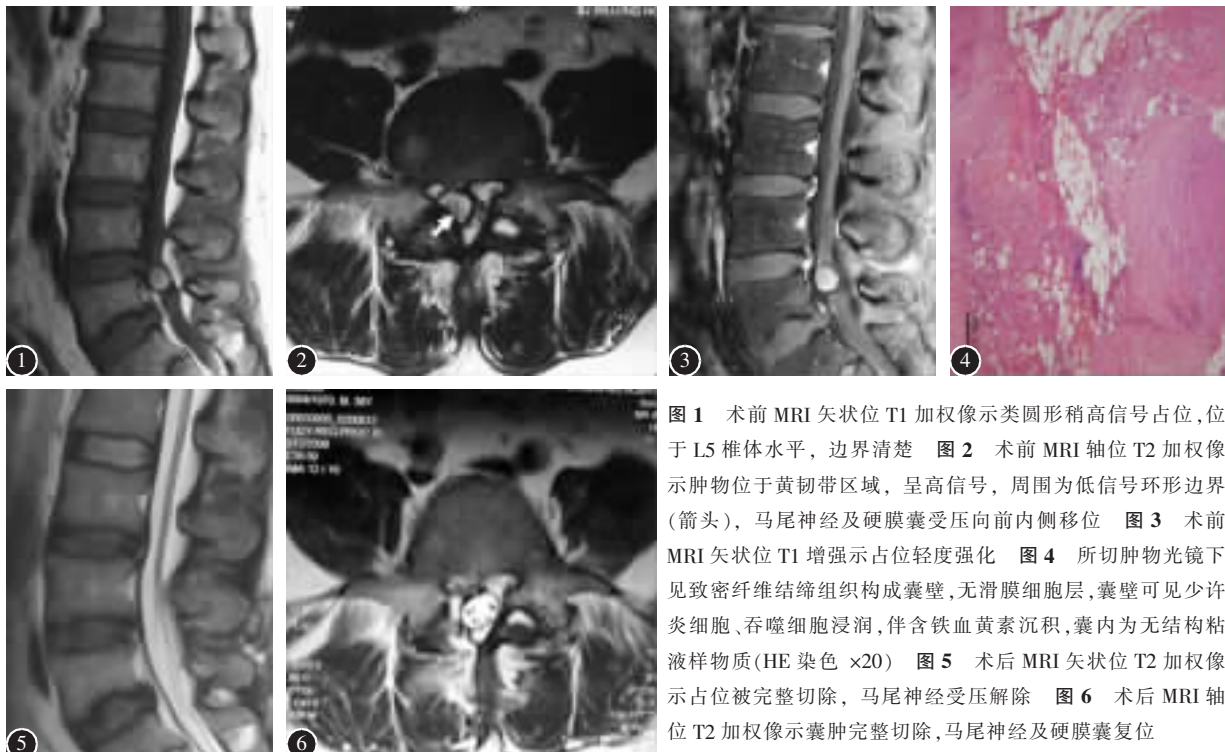


图 1 术前 MRI 矢状位 T1 加权像示类圆形稍高信号占位, 位于 L5 椎体水平, 边界清楚 图 2 术前 MRI 轴位 T2 加权像示肿物位于黄韧带区域, 呈高信号, 周围为低信号环形边界 (箭头), 马尾神经及硬膜囊受压向前内侧移位 图 3 术前 MRI 矢状位 T1 增强示占位轻度强化 图 4 所切肿物光镜下见致密纤维结缔组织构成囊壁, 无滑膜细胞层, 囊壁可见少许炎细胞、吞噬细胞浸润, 伴含铁血黄素沉积, 囊内为无结构粘液样物质 (HE 染色 ×20) 图 5 术后 MRI 矢状位 T2 加权像示占位被完整切除, 马尾神经受压解除 图 6 术后 MRI 轴位 T2 加权像示囊肿完整切除, 马尾神经及硬膜囊复位

病理上无滑膜层; 黄韧带囊肿则完全或部分位于黄韧带内面, 与小关节无联系。与滑膜囊肿的鉴别有利于术中的处理, 滑膜囊肿与小关节相沟通, 需要打开小关节切除病变, 而黄韧带囊肿则完全位于黄韧带内, 与小关节无联系, 手术切除较为容易^[1]。本例病变位于 L5 椎体水平, 为最为常见的部位, 但年龄较文献报道年轻; 患者急性起病, 腰椎 MRI T1 加权像呈稍高信号, T2 加权像呈高信号, 提示黄韧带囊肿内出血可能; 术中见囊肿内为黄红色粘液, 术后病理检查示含铁血黄素沉积, 可能与病变出血有关。

外科手术是黄韧带囊肿的最有效治疗方法, 手术能够良好显露并完整地切除病变, 解除病灶对硬脊膜囊及神经根的压迫, 使患者的症状得以缓解, 手术效果良好^[3-5]。本例患者术后症状完全消失, 复查 MRI 示椎管内囊肿被完全切除, 硬膜囊及马尾神经受压解除。

参考文献

1. Gazzeri R, Galarza M, Gorgoglion L, et al. Cervical cyst of the ligamentum flavum and C7-T1 subluxation: case report [J]. Eur Spine J, 2005, 14(8): 807-809.
2. Cakir E, Kuzeyli K, Usul H, et al. Ligamentum flavum cyst [J]. J Clin Neurosci, 2004, 11(1): 67-69.
3. Gazzeri R, Canova A, Fiore C, et al. Acute hemorrhagic cyst of the ligamentum flavum [J]. J Spinal Disord Tech, 2007, 20(7): 536-538.
4. 方向前, 范顺武, 王进, 等. 黄韧带囊肿一例报告 [J]. 中华骨科杂志, 2001, 21(9): 576.
5. Terada H, Yokoyama Y, Kamata N, et al. Cyst of the ligamentum flavum [J]. Neuroradiology, 2001, 43(1): 49-51.

(收稿日期: 2009-04-09 修回日期: 2009-04-20)

(本文编辑 李伟霞)